

III-B258 未貫通ドレン先端部排水条件による未貫通ドレン地盤の圧密特性

佐賀大学 正会員 ○ 唐 晓武-
佐賀大学 正会員 鬼塚 克忠

1. まえがき

粘土層が厚い場合、粘土層全部にドレンを施工するのは経済的・技術的に無理な場合が多い。一般的に、未貫通ドレンの圧密特性は、FEM と FDM などの数値解析を用いて分析する^{1), 2)}。通常のドレン先端部は排水状態である。著者らはすでに、ドレン先端部が排水条件である未貫通ドレン地盤の圧密理論解析解について、報告している³⁾。しかし、プラスチックボードドレンの場合、断面は非常に小さく、また土に目詰まりするなどの原因から、ドレン先端部は非排水状態である。本研究ではドレン材先端を非排水条件とした、未貫通ドレン圧密解析解を提案し、ドレン材先端の排水条件が異なる未貫通ドレン圧密特性について分析する。

2. 数学モデル

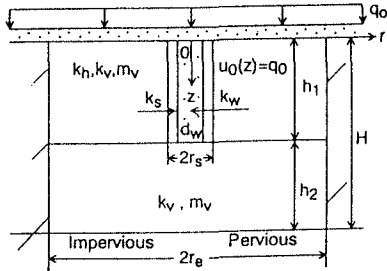
改良層の数学モデルと通常貫通ドレン圧密モデルは同一である。非改良層は一次元圧密とし、非改良層の下端は非排水とする(PTIB)。

ドレン先端 ($z = h_1$) の連続条件は:

a) ドレン先端は非排水の場合 :

$$\frac{\partial u_w}{\partial z} = 0 \quad (1a)$$

$$\bar{u}_1 = u_2 \quad (2a)$$



b) ドレン先端は排水の場合 :

$$u_w = u_2 \quad (1b)$$

$$\bar{u}_1 = u_2 \quad (2b)$$

$$(n^2 - 1) k_v \frac{\partial \bar{u}_1}{\partial z} = n^2 k_v \frac{\partial u_2}{\partial z} \quad (3a)$$

$$(n^2 - 1) k_v \frac{\partial \bar{u}_1}{\partial z} + k_w \frac{\partial u_w}{\partial z} = n^2 k_v \frac{\partial u_2}{\partial z} \quad (3b)$$

u_w —ドレン内の間隙水圧； \bar{u}_1 —改良層の任意断面の平均間隙水圧； \bar{u}_1 —非改良層の間隙水圧； k_v , k_h —土の鉛直と水平方向透水係数； k_w —ドレンの透水係数； $n = r_e/r_w$ ； $s = r_s/r_w$ ； $\rho = h_1/H$ 貫入度。

3. システムの解

u_w と \bar{u}_1 と u_2 の解は以下の三式で表せる:

$$u_w = \sum_{m=0}^{\infty} A_m g_{wm1}(z) e^{-\beta_m t} \quad (4) \quad \bar{u}_1 = \sum_{m=0}^{\infty} A_m g_{m1}(z) e^{-\beta_m t} \quad (5) \quad u_2 = \sum_{m=0}^{\infty} A_m g_{m2}(z) e^{-\beta_m t} \quad (6)$$

$$\text{ここで: } g_{m1}(z) = \sin\left(\frac{\lambda_{m1} z}{H}\right) + c_{m1} \sinh\left(\frac{\xi_{m1} z}{H}\right); g_{m1}(z) = \left(1 + \frac{\lambda_{m1}^2}{\varphi_1}\right) \sin\left(\frac{\lambda_{m1} z}{H}\right) + c_{m1} \left(1 - \frac{\xi_{m1}^2}{\varphi_1}\right) \sinh\left(\frac{\xi_{m1} z}{H}\right);$$

$$g_{m2}(z) = b_{m2} \cos\left[\lambda_{m2}\left(1 - \frac{z}{H}\right)\right]; \quad \lambda_{m1} = \sqrt{\frac{\Xi_m + \sqrt{\Xi_m^2 - 4\Lambda_m \Theta_m}}{2\Lambda_m}}; \quad \xi_{m1} = \sqrt{\frac{-\Xi_m + \sqrt{\Xi_m^2 - 4\Lambda_m \Theta_m}}{2\Lambda_m}};$$

$$\varphi_1 = (n^2 - 1) \frac{2}{F} \frac{k_h}{k_w} \left(\frac{H}{r_e}\right)^2; \quad \Lambda = \frac{k_v}{m_v \gamma_w}; \quad \Xi_m = -\left\{ \frac{k_h}{m_v \gamma_w} \frac{2}{r_e^2 F} \left[1 + \frac{k_v}{k_w} (n^2 - 1)\right] - \beta_m \right\}; \quad \Theta_m = -(n^2 - 1) \frac{2}{r_e^2 F} \frac{k_h}{k_w} \beta_m$$

$$\lambda_{m2} = \sqrt{\frac{m_v \gamma_w}{k_v} \beta_m}; \quad F = \left(\ln \frac{n}{s} + \frac{k_h}{k_s} \ln s - \frac{3}{4} \right) \frac{n^2}{n^2 - 1} + \frac{s^2}{n^2 - 1} \left(1 - \frac{k_h}{k_s}\right) \left(1 - \frac{s^2}{4n^2}\right) + \frac{k_h}{k_s} \frac{1}{n^2 - 1} \left(1 - \frac{1}{4n^2}\right)$$

バーチカルドレン； 圧密； 地盤改良

〒840-8502 佐賀市本庄町1番地佐賀大学理工学部都市工学科 Tel: 0952-28-8690 Fax: 0952-28-8699

ドレーン先端は非排水・排水のいずれの場合も、以下のシステム直交性が成立する：

$$\begin{aligned} & \gamma_w(n^2 - 1) \int_0^{h_1} (\beta_m - \beta_{m'}) g_{m1}(z) g_{m'1}(z) dz + \gamma_w n^2 \int_{h_1}^H (\beta_m - \beta_{m'}) g_{m2}(z) g_{m'2}(z) dz \\ &= \left[-(n^2 - 1) k_v g'_{m1}(h_1) g_{m'1}(h_1) - k_w g'_{wm1}(h_1) g_{wm'1}(h_1) + n^2 k_v g'_{m2}(z) g_{m'2}(z) \right] \\ &+ \left[(n^2 - 1) k_v g'_{m1}(h_1) g_{m1}(h_1) - k_w g'_{wm1}(h_1) g_{wm1}(h_1) + n^2 k_v g'_{m2}(z) g_{m2}(z) \right] = 0 \quad m \neq m' \end{aligned} \quad (7)$$

システム直交性を利用し、 A_m が得られる：

$$A_m = \left[(n^2 - 1) u_0 \int_0^{h_1} g_{m1}(z) dz + n^2 u_0 \int_{h_1}^H g_{m2}(z) dz \right] / \left[(n^2 - 1) \int_0^{h_1} g_{m1}^2(z) dz + n^2 \int_{h_1}^H g_{m2}^2(z) dz \right] \quad (8)$$

著者らはすでに、先端排水ドレーンの連続条件に対応する解について、報告している³⁾。非排水ドレーン先端の連続条件(1a)～(3a)をもとに、次のマトリクスを得る：

$$S X^T = 0 \quad (9)$$

$$S = \begin{bmatrix} S_{11} & S_{12} & S_{13} \\ S_{21} & S_{22} & S_{23} \\ S_{31} & S_{32} & S_{33} \end{bmatrix} \quad (10) \quad X = \begin{bmatrix} 1 & c_{m1} & b_{m2} \end{bmatrix} \quad (11)$$

$$S_{11} = \lambda_{m1} \cos(\lambda_{m1} \rho)$$

$$S_{12} = \xi_{m1} \cosh(\xi_{m1} \rho)$$

$$S_{21} = \left(1 + \frac{\lambda_{m1}^2}{\varphi_1} \right) \sin(\lambda_{m1} \rho)$$

$$S_{22} = \left(1 - \frac{\xi_{m1}^2}{\varphi_1} \right) \sinh(\xi_{m1} \rho)$$

$$S_{23} = \cos[\lambda_{m2}(1 - \rho)]$$

$$S_{31} = \frac{n^2 - 1}{n^2} \left(1 + \frac{\lambda_{m1}^2}{\varphi_1} \right) S_{11}$$

$$S_{32} = \frac{n^2 - 1}{n^2} \left(1 - \frac{\xi_{m1}^2}{\varphi_1} \right) S_{12}$$

$$S_{33} = -\lambda_{m2} \sin[\lambda_{m2}(1 - \rho)]$$

$\det S = 0$ は 0 以外の X の得るための必要条件です。

$\det S = 0$ から β_m の値を得る。 β_m の全ての値を式(9)に代入して、各 β_m 対応した c_{m1} と b_{m2} を求める。

地盤の全層の全平均圧密度は次式のように表せる：

$$\bar{U} = 1 - \frac{1}{u_0 H} \left[\int_0^{h_1} u_1(z) dz + \int_{h_1}^H u_2(z) dz \right] \quad (12)$$

4. 計算とまとめ

- 図-2 から、先端排水未貫通ドレーンの圧密の進行は先端非排水の場合より速い。ドレーンの透水係数の増加に伴って、両者の差は大きくなる。
- 図-3 より、改良層におけるドレーン先端の排水条件の影響は局部である。非改良層における影響は全体に及ぶ。
- 図-4 より、ドレーン先端を排水条件とした場合、ドレーン直径が変化ても、大きな影響を受けない。

参考文献

- 中野ら(1991):“部分貫入の長大バーチカルドレーンの圧密”，土と基礎，39-8, pp. 23-28
- Runesson, K., et al. (1985):“The efficiency of partially penetrating vertical drains”, *Geotechnique*, Vol.35, No.4, pp.511-516.
- Tang, X.W and Onitsuka, K. (1998):“Consolidation of ground with partially penetrated vertical drains”, *Geotechnical Engineering Journal*, Vol. 29, No.2, pp. 209-231.

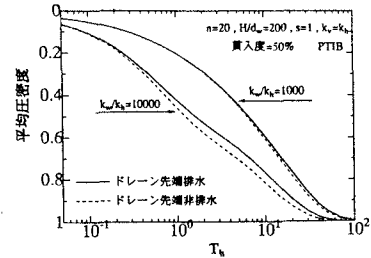


図-2 ドレーン先端排水状態と平均圧密度関係

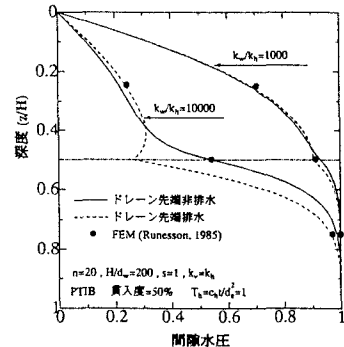


図-3 ドレーン先端排水状態と間隙水圧関係

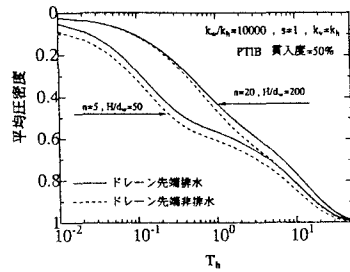


図-4 ドレーン先端排水状態とドレーンの直径と平均圧密度関係